

УДК 536.24

ЭФФЕКТЫ МНОГОКОМПОНЕНТНОЙ ДИФФУЗИИ В ОДНОЙ ЗАДАЧЕ ВЫСОКОТЕМПЕРАТУРНОЙ ГАЗОДИНАМИКИ

ПАВЛОВ Г. А., ШИРЯЕВ А. А.

Различные характеристики гиперзвукового обтекания космического зонда в гелиево-водородной атмосфере, моделирующей верхние слои планеты Юпитер, интенсивно исследуются в последнее время [1–6]. Особенностью данной работы, завершающей цикл [7, 8], является последовательный учет взаимодействия основных физических процессов в плазме ударного слоя между отошедшей ударной волной и графитовой поверхностью сферического зонда при определении конвективного и лучистого тепловых потоков в передней критической точке зонда. К указанным процессам относятся: вдув графитного теплозащитного покрытия в ударный слой под действием мощных тепловых потоков, лучистый и конвективный перенос тепла через ударный слой к поверхности зонда, многокомпонентный характер диффузионного перемешивания компонентов плазмы в ударном слое. Теплофизические свойства локально-равновесной многоэлементной плазмы ударного слоя с сильным кулоновским взаимодействием, необходимые для расчета тепловых потоков, затабулированы в [8, 9]. Кулоновское взаимодействие сказывается в особенности на оптических свойствах плазмы ударного слоя [9].

С методической точки зрения наиболее сложно корректно исследовать влияние многокомпонентной диффузии в плазме ударного слоя на тепловые потоки при заданной интенсивности вдува теплозащитного покрытия (здесь — углерода) в ударный слой. В работе применен подход [7–10], связанный с введением эффективных коэффициентов переноса (ЭКП), описывающих массовые потоки химических элементов J_a и конвективный тепловой поток J_q (см. (1.2)). Данный подход позволил систематически рассмотреть зависимость тепловых потоков, массовых потоков химических элементов, профилей газодинамических параметров от полноты учета диффузионных процессов в ударном слое. Матрица ЭКП, построенная в [7–10], удовлетворяет условиям [11], гарантирующим положительность решений соответствующих уравнений диффузии и энергии (см. п. 2).

1. Как известно (см., например, [12]), полная система уравнений, описывающая движение многоэлементной излучающей плазмы ударного слоя в приближении локального термодинамического равновесия (ЛТР), включает в себя уравнения неразрывности, диффузии химических элементов, движения, энергии, уравнение переноса излучения и уравнения Максвелла. Указанную систему следует дополнить выражениями для электрического тока J_e , массовых потоков химических элементов, конвективного теплового потока; определением тензора давлений $P_{ij} = p\delta_{ij} + \Pi_{ij}$ (где Π_{ij} — тензор вязких напряжений), данными по термодинамическим функциям и коэффициентам поглощения плазмы κ . Теплофизические свойства плазмы — термодинамические функции, коэффициенты переноса, коэффициент поглощения — целесообразно затабулировать в зависимости от p, T, c_a (c_a — доля химического элемента a) [7–10].

Полная система уравнений высокотемпературной газодинамики для ударного слоя, очевидно, чрезвычайно сложна. Однако с учетом гиперзвукового характера обтекания зонда и ряда оценок параметров физических процессов в ударном слое система может быть существенно упрощена. Ниже ввиду гиперзвукового характера течения плазмы в окрестности передней критической линии применена концепция вязкого ударного слоя с «исчезающей» вязкостью (см., например, [13]). Данная концепция заключается в том, что при описании гиперзвукового течения в удар-

ном слое в системе уравнений движения и энергии сохраняются вязкие члены, существенные в пограничном слое (по порядку величины больше, чем $l/\sqrt{\text{Re}_\delta}$, где $\text{Re}_\delta = \rho_\infty v_\infty R/\mu_\delta$; v_∞ , ρ_∞ — скорость и плотность в набегающем потоке; R — радиус кривизны поверхности тела, μ_δ — динамическая вязкость плазмы непосредственно за ударной волной), а на ударной волне справедливы соотношения Гюгонио — Ренкина.

С указанной точностью давление поперек слоя постоянно и равно давлению за ударной волной. Оценки вкладов электромагнитных взаимодействий в уравнения движения и энергии показывают незначительность данных эффектов для плазмы ударного слоя. В то же время электрическое поле сохранено в выражениях для J_a и J_q (1.2). Поскольку движение плазмы в ударном слое рассмотрено ниже в окрестности передней критической линии, электрическое поле исключено из выражений для J_a , J_q , из условия $J_e = 0$. Показано также, что вязкая диссипация энергии в уравнении энергии незначительна (см. [9]).

В результате полная система уравнений в окрестности передней критической линии сферического зонда в автомодельных переменных η , ξ имеет следующий безразмерный вид:

$$\begin{aligned} (Nf'')' + ff'' + (2\rho_\infty/\rho - f'^2)/2 &= 0 \\ (N_1 T \cdot)' - (N_2 c_a')' - (N_3 c_b') &= -\frac{\mu_\delta}{D_\delta} f c_a' \\ (M_1 T^* \cdot)' - (M_2 c_a')' - (M_3 c_b')' &= -\frac{\mu_\delta}{\lambda_\delta} \left(T_\delta c_p T^* \cdot' + \right. \\ &+ \left. \sum_{a=1}^{N_a-1} \left(\frac{\partial h}{\partial c_a} \right)_{p, T, c_b \neq c_a} c_a' \right) f + \text{div } J_R \mu_\delta R / (2v_\infty \lambda_\delta \rho). \end{aligned} \quad (1.1)$$

$$\eta(x, y) = \left(\frac{u_\delta r_b}{\sqrt{2\xi}} \right) \int_0^y \rho dy, \quad \xi(x) = \int_0^x \rho_\delta \mu_\delta u_\delta r_b^2 dx$$

$$\begin{aligned} f &= \int_0^\eta \left(\frac{u}{u_\delta} \right) d\eta, \quad N = \frac{\rho \mu}{\rho_\delta \mu_\delta}, \quad N_1 = \frac{\rho D_a^T}{\rho_\delta D_\delta} \\ N_2 &= \frac{\rho D_{aa}}{\rho_\delta D_\delta}, \quad N_3 = \frac{\rho D_{ab}}{\rho_\delta D_\delta}, \quad M_1 = \frac{\rho \lambda^*}{\rho_\delta \lambda_\delta}, \quad M_2 = \frac{\rho \lambda_a^*}{\rho_\delta \lambda_\delta} \\ M_3 &= \frac{\rho \lambda_b^*}{\rho_\delta \lambda_\delta}, \quad T^* = \frac{T}{T_\delta}, \quad D_{ab} = D_{ab} - \frac{D_{eb} D_a}{D_e^E} \end{aligned}$$

$$D_a^T = \left(D_a^T - D_e^T \frac{D_a^E}{D_e^E} \right) T_\delta, \quad \lambda^* = \left(\lambda' - \lambda^T + \lambda_E \frac{D_e^T}{D_e^E} \right) T_\delta, \quad \lambda_a^* = \lambda_a - \lambda_E \frac{D_{ea}}{D_e^E}$$

Здесь x , y — координаты соответственно по образующей тела относительно передней критической точки и по нормали к поверхности; r_b — расстояние до оси симметрии (передней критической линии); индексы ∞ , δ , w относятся к величинам в набегающем потоке, непосредственно за ударной волной и на поверхности тела, u — x -координата массовой скорости; D_{ab} , D_a^T , D_a^E — соответственно эффективные коэффициенты диффузии, термодиффузии и электродиффузии; λ' — коэффициент транспортной теплопроводности; λ^T , λ_a , λ_E — соответственно эффективные коэффициенты теплопроводности, диффузионно-термический и электротермический (см. ниже (1.2)); λ_δ , D_δ — нормировочные коэффициенты, равные λ_{He} , D_{HeHe} за ударной волной; J_R — поток лучистой энергии, $h = h(p, T, c_a)$ — удельная энтальпия плазмы ударного слоя; f — безразмерная функция тока, $f' = u/u_\delta$.

В (1.1) объемной вязкостью пренебрегается, первое из уравнений — проекция уравнения сохранения импульса на x -координату, второе — уравнения диффузии химических элементов (He, C), третье — уравнение сохранения энергии. При выводе (1.1) полагалось, что J_q , J_a (J_e) заданы в форме

$$J_q = -(\lambda' - \lambda^T) \nabla T + \sum_{a=1}^{N_a-1} \lambda_a \nabla c_a - \lambda_E E$$

$$J_a = \sum_{b=1}^{N_a-1} D_{ab} \nabla c_b + D_a^T \nabla T - D_a^E E$$
(1.2)

Плазма ударного слоя образуется тремя элементами (C, H, He, $N_a=3$) и 20 компонентами ($N=20$): e, H, C, He, H^+ , C^+ , H^- , He^- , C^- , C^{++} , H_2 , C_2 , CH , C_3 , CH_2 , CH_3 , CH_4 , C_2H , C_2H_2 , C_2H_4 .

Поле излучения в ударном слое определено по модели плоскопараллельного, локально-одномерного излучающего объема (см., например, [14]) (при условии, что поверхность зонда излучает как абсолютно черное тело и при отсутствии опережающего излучения), согласно которой J_R и $\text{div } J_R$ имеют вид

$$J_R = \int_{v_{\min}}^{v_{\max}} [q^{(+)}(v, y) - q^{(-)}(v, y)] dv$$

$$q^{(+)} = 2\pi \left\{ B(v, 0) E_3[\tau(v, y)] + \int_0^y B(v, t) E_2[\tau(v, y) - \tau(v, t)] d\tau(v, t) \right\}$$

$$q^{(-)} = 2\pi \int_y^0 B(v, t) E_2[\tau(v, t) - \tau(v, y)] d\tau(v, t)$$
(1.3)

$$\tau(v, y) = \int_0^y \kappa(v, t) dt$$

$$\text{div } J_R = -2\pi \int_{v_{\min}}^{v_{\max}} \kappa(v, y) \left\{ \int_0^{y(1-\gamma)} B(v, t) E_1[\tau(v, y) - \tau(v, t)] d\tau(v, t) + \right.$$

$$\left. + E_2[\tau(v, y)] B(v, 0) + \int_{y(1+\gamma)}^0 B(v, t) E_1[\tau(v, t) - \tau(v, y)] d\tau(v, t) - \right.$$

$$\left. - 2B(v, y) E_2[\kappa(v, y) \gamma y] \right\} dv$$

В (1.3) $B(v, T)$ — функция Планка, E_n — интегропоказательные функции n -го порядка, величина $\gamma > 0$ обусловлена необходимой точностью вычислений J_R , $\text{div } J_R$. Коэффициент поглощения κ_v , необходимый для расчета J_R и $\text{div } J_R$ по (1.3), вычислен с учетом фотоионизационного поглощения атомов и ионов H, He, C, C^+ , C^{++} , He^- , C^- , H^- ; тормозного поглощения электронов в полях заряженных и нейтральных частиц; поглощения излучения в атомных и ионных линиях, а также в молекулярных полосах H_2 , C_2 , CH , C_3 , CH_2 . Ввиду малой концентрации многоатомных молекул в плазме ударного слоя вклад последних в κ_v не учтен. В работе рассмотрен спектральный диапазон $10\,000 - 100\,000 \text{ см}^{-1}$ согласно рекомендациям [6].

В качестве граничных условий для решения системы (1.1) на ударной волне ($\eta = \delta$) использованы соотношения Гюгионо — Ренкина. Концентрации химических элементов непосредственно за ударной волной приняты

равными их значениям в набегающем потоке. На поверхности тела заданы условия отсутствия скольжения ($u_w=0$), интенсивность вдуваемого потока углерода, уравнения баланса массы химических элементов и температура

$$\begin{aligned} \eta=0: \quad T=T_w, \quad f_w=-\varepsilon f_\delta, \quad f_w'=0 \\ \rho(-D_{\text{He}}^T T_*' + D_{\text{HeHe}} c_{\text{He}}' + D_{\text{HeC}} c_C') - \mu_\delta \rho_\delta f c_{\text{He}} = 0 \\ \rho(-D_C^T T_*' + D_{\text{CHe}} c_{\text{He}}' + D_{\text{CC}} c_C') - \mu_\delta \rho_\delta f c_C = -\mu_\delta \rho_\delta f \\ \eta=\delta: \quad T=T_\delta, \quad c_{\text{a}\delta}=c_{\text{a}\infty}, \quad f=(p_\delta/v_\infty)(R/(2\rho_\delta\mu_\delta v_\infty))^{1/2}, \quad f_\delta'=1 \end{aligned} \quad (1.4)$$

В конкретных расчетах численные значения величин, входящих в (1.1), (1.3), (1.4), приняты равными

$$\begin{aligned} \rho_\delta = 9,464 \cdot 10^{-3} \text{ г} \cdot \text{см}^{-3}; \quad \mu_\delta = 1,83 \cdot 10^{-3} \text{ г} \cdot \text{см}^{-1} \cdot \text{с}^{-1}; \\ v_\infty = 40 \text{ км} \cdot \text{с}^{-1}; \quad R = 25 \text{ см}; \quad p_\delta = 10 \text{ атм}; \\ T_w = 3000 \text{ К}; \quad T_\delta = 15\,000 \text{ К}; \quad c_{\text{He}\infty} = 0,14; \quad c_{\text{H}\infty} = 0,86 \end{aligned}$$

Для $T_\delta = 13\,000 \text{ К}$ ρ_δ и μ_δ соответственно изменены.

2. Перепишем систему (1.1) в матричной форме

$$\begin{aligned} (Nf'')' + ff'' - f'^2/2 + L = 0 \\ (Az')' + (Bz)' + Cz = D \end{aligned} \quad (2.1)$$

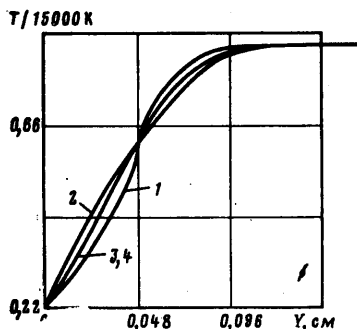
$$A = \begin{pmatrix} -M_1 & M_2 & M_3 \\ -N_1^{\text{He}} & N_2^{\text{He}} & N_3^{\text{He}} \\ -N_1^{\text{C}} & N_2^{\text{C}} & N_3^{\text{C}} \end{pmatrix}, \quad -B = \begin{pmatrix} \frac{c_p T_\delta \mu_\delta}{\lambda_\delta} & \frac{h_{\text{He}} \mu_\delta}{\lambda_\delta} & \frac{h_{\text{C}} \mu_\delta}{\lambda_\delta} \\ 0 & \frac{\mu_\delta}{D_\delta} & 0 \\ 0 & 0 & \frac{\mu_\delta}{D_\delta} \end{pmatrix} f \quad (2.2)$$

$$C = -B', \quad L = \rho_\infty/\rho, \quad D = (\text{div } J_R \mu_\delta R / (2v_\infty \lambda_\delta \rho), 0, 0), \quad z = (T_*, c_{\text{He}}, c_C)$$

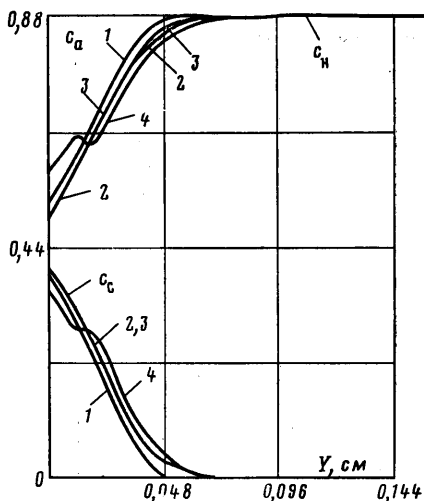
Первое из уравнений (2.1) является нелинейным дифференциальным уравнением третьего порядка. После линеаризации данное уравнение решено методом трехточечной немонотонной прогонки [15]. Векторное уравнение в (2.1) неразрешено относительно старшей производной z , что накладывает ограничения на матрицы A , B , C . Согласно [11], вторая краевая задача для векторного уравнения в (2.1) имеет положительные решения при условии, что матрица A параболическая (т. е. собственные значения матрицы имеют положительные вещественные части), а элементы матрицы C удовлетворяют условиям

$$c_{kl}(\eta, z) > 0, \quad k \neq l; \quad \sum_{k=1}^3 c_{kl}(\eta, z) \leq 0 \quad (2.3)$$

В отличие от приближения бинарной диффузии (A, B — диагональны, A — параболическая, C удовлетворяет (2.3), см., например, [6]), когда решения векторного уравнения в (2.1) заведомо положительны, в случае (2.2) (так как матрица A является полностью заполненной) параболичность A и условие (2.3) необходимо проверять в процессе решения. Векторное уравнение в (2.1) решалось методом немонотонной матричной прогонки. Решение системы уравнений (2.1) с граничными условиями (1.4) проведено методом последовательных приближений, включающим три цикла итераций. В первом цикле при некотором начальном приближении для функции тока f , распределений T, c_C, c_{He} и величины отхода ударной волны решается первое уравнение в (2.1) и находится величина



Фиг. 1



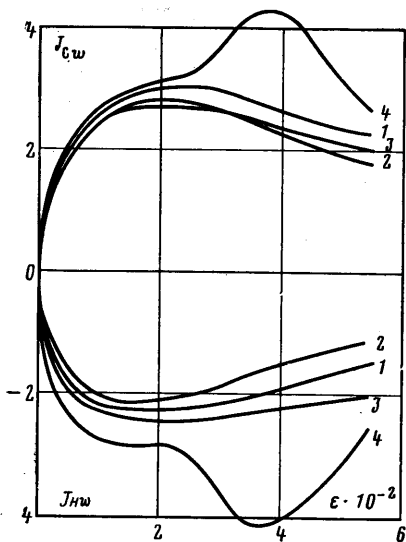
Фиг. 2

отхода ударной волны от поверхности тела и новые значения функции тока. Во втором цикле, используя полученные значения для функции тока и считая известным поле излучения, находятся новые распределения T , c_s , c_{He} и т. д. до установления профилей газодинамических параметров. Затем используются установившиеся профили T , c_s , c_{He} , находят величины J_R и $\text{div } J_R$, подставляют их в уравнение энергии, и весь цикл повторяется до тех пор, пока не установятся профили лучистого потока.

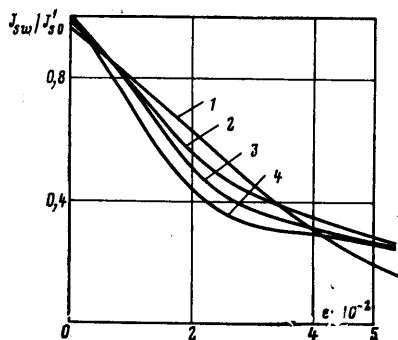
3. В работе исследовано влияние различных процессов тепломассопереноса в ударном слое на распределение T , c_a в окрестности передней критической линии (см. фиг. 1, 2) и на величины J_a , J_s ($J_s = -(\lambda' + \lambda_R) \nabla T$) (см. фиг. 3–5) и J_R в критической точке зонда. Расчеты проведены как для непроницаемой поверхности, так и для случая, когда в ударный слой вдуваются продукты разрушения углеродного теплозащитного покрытия. В обоих случаях вычисления выполнены как с учетом, так и без учета переноса излучения в ударном слое (на всех фигурах представлены данные с учетом переноса излучения). Величина вдува не превышала 7,5% от интенсивности набегающего потока — величина ϵ в (1.4) менялась от 0 до 0,75. Используются четыре модели матриц A и B в (2.1): 1) A , B диагональны при $\lambda^* = (\lambda' + \lambda_R) T_s$; 2) в A D_{He}^T , D_C^T , D_{HeC} , $D_{CHe} = 0$, B — полная; 3) в A D_{He}^T , $D_C^T = 0$, B — полная; 4) A , B — в виде (2.2).

Расчеты при отсутствии вдува показали, что использование первых трех моделей для A , B дает одинаковые профили c_n , c_{He} , T . Учет термодиффузионных процессов в A (четвертая модель) приводит к разделению химических элементов He и H около поверхности зонда. Величина J_s незначительно (до 6–7%) колеблется в зависимости от модели, используемой для матриц A , B . Численные значения J_{s0}^4 , рассчитанные с матрицами A , B в виде (2.2), при $T = 15\,000$ К и с учетом переноса излучения в ударном слое есть 131 МВт/м², а при $T_s = 13\,000$ К — 105 МВт/м² ($J_{s0}^1 = 124$ и 101 МВт/м²).

Расчеты течения при наличии вдува в ударный слой углерода показали сложную зависимость профилей c_a , T (фиг. 1 соответствует $T_s = 13\,000$ К, $\epsilon = 0,055$; фиг. 2 — $T_s = 15\,000$ К, $\epsilon = 0,005$; на всех фигурах цифры 1–4 соответствуют различным моделям матриц A , B) и величин J_a , J_s от вида матриц A , B . Различие в величинах J_n , J_c (фиг. 3, $T_s = 15\,000$ К; чтобы выразить массовые потоки в г/см²·с, значения J_{av} следует домножить на $2,32 \cdot 10^2$) в передней критической точке достигает ~100%, в величинах J_s — 35% (фиг. 4, 5). На фиг. 4 $T_s = 13\,000$ К, J_{s0}^1 соответствует значениям J_s для непроницаемой поверхности для первой модели матриц



Фиг. 3



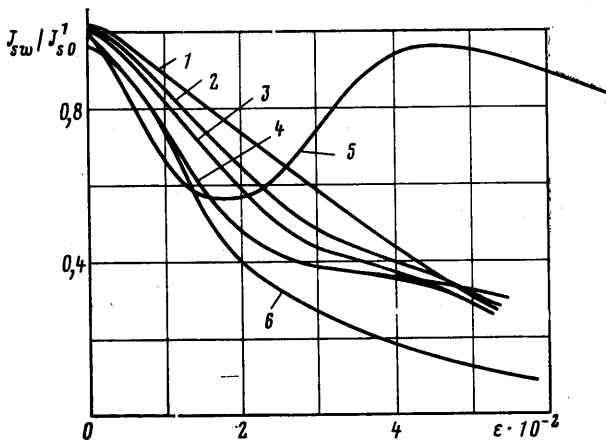
Фиг. 4

А и В. На фиг. 5 кривая 5 — данные из [6], 6 — данные [16]. Наибольшее влияние на величину J_{Cw} (см. фиг. 3) оказывает процесс термодиффузии. Данный эффект связан с тем, что эффективный коэффициент D_C^T имеет резкий максимум (увеличение в ~ 6 раз) при значениях $c_{Cw} (T=T_w)$, которые соответствуют значениям $\epsilon = 0,03-0,04$.

Изменение величин J_{Hw} , J_{HeW} следует из $\sum_{\alpha=1}^{N_a} J_{\alpha} = 0$. Эффект в J_{sw} опре-

деляется в основном величиной ∇T_w , которая слабее, чем J_{aw} , зависит от полноты учета диффузионных процессов в плазме ударного слоя. Отличие в поведении J_{sw}/J_{s0}^1 в данной работе и [6] объясняется помимо развития в описании диффузионных процессов и значений T_s , T_w (в [6] $T_s=17\,000\text{ K}$, $T_w=4580\text{ K}$) также и несовпадением данных по теплофизическим свойствам плазмы $\text{He}+\text{H}+\text{C}$. Так, значения суммарной теплопроводности $-(\lambda'+\lambda_R)$ в пристеночном слое в диапазоне c_s , T , соответствующем $\epsilon \geq 0,02$ (см. фиг. 5), в данной работе в ~ 4 раза меньше в области пика λ_R , чем в [6]. Значения коэффициента поглощения κ_λ , используемые в данной работе, также существенно меньше по сравнению с [6] в пристеночном слое, что связано, по-видимому, с различием в концентрациях молекул C_2 и в особенности C_3 при расчете состава многоэлементной плазмы ударного слоя. Заметим, что результаты [16] качественно согласуются с результатами данной работы.

Таким образом, в работе методом эффективных коэффициентов переноса исследовано влияние диффузионных процессов в плазме ударного слоя на характеристики теплообмена в передней критической точке сферического зонда, движущегося с гиперзвуковой скоростью в верхних слоях Юпитера. Показано, что в той части траектории полета зонда, где преобладает конвективный нагрев поверхности аппарата, корректный учет диффузионных процессов весьма важен. Вследствие малой оптической толщины ударного слоя в условиях, рассмотренных в работе, зависимость J_R от полноты описания диффузионных процессов незначительна. Очевид-



Фиг. 5

но, ситуация изменится на обратную для оптически толстого слоя многоэлементной плазмы. Выяснены ограничения традиционной модели «бинарной» диффузии (см., например [6]), использующей, по-существу, неопределенный единый диффузионный коэффициент. Данная модель дает лишь монотонные профили c_a (ср. фиг. 2), неточно определяет массовые потоки химических элементов (см. фиг. 3), конвективный тепловой поток (см. фиг. 4, 5), а в случае оптически толстого ударного слоя — и лучистый тепловой поток. Информация о профилях c_a , значениях J_{sw} полезна для изучения разрушения поверхности зонда.

ЛИТЕРАТУРА

1. Нельсон Х. Ф. Влияние неравновесности на лучистый нагрев в передней критической точке при входе зонда в атмосферу Юпитера. — Ракетная техника и космонавтика, 1980, т. 18, № 9, с. 129–138.
2. Мосс Дж. Н., Симмондс А. Л., Андерсон Э. К. Расчет турбулентного излучающего ударного слоя на аблирующем теле. — Ракетная техника и космонавтика, 1981, т. 19, № 2, с. 75–83.
3. Белоцерковский О. М., Голомазов М. М., Шабалин А. В. Исследование влияния сильного вдува газа с поверхности на гиперзвуковое обтекание затупленных тел. — Журн. вычисл. матем. и матем. физики, 1981, т. 21, № 4, с. 1018–1030.
4. Биберман Л. М., Бронин С. Я., Брыкин М. В., Мнацаканян А. Х. Влияние газообразных продуктов разрушения теплозащитного покрытия на теплообмен в окрестности критической точки затупленного тела. — Изв. АН СССР. МЖГ, 1978, № 3, с. 129–136.
5. Гершбейн Э. А., Суходольская Э. Я., Суходольский С. Л., Турский Г. А. О движении тел в атмосфере Юпитера с учетом изменения их массы и формы под действием аэродинамического нагрева. — Космич. исслед., 1978, т. 1, № 3, с. 378–387.
6. Гудзовский А. В., Карасев А. Б., Кондранин Т. В. О немонотонной зависимости конвективного теплового потока от скорости вдува непрозрачных примесей в излучающий Н-Не ударный слой. — Изв. АН СССР. МЖГ, 1981, № 3, с. 106–113.
7. Кучеренко В. И., Павлов Г. А., Грязнов В. К., Сон Э. Е., Фортгов В. Е. Теплофизические свойства плазмы смеси гелия с водородом в интервале температур 2800–30 000 К и давлений 1–100 атм. Черноголовка, 1978. 28 с. (Препринт Ин-та хим. физики АН СССР).
8. Кучеренко В. И., Павлов Г. А. Теплофизические свойства плазмы смеси гелия с водородом и углеродом в интервале температур 3000–250 000 К и давлений 1–500 атм. Черноголовка, 1981. 108 с. (Препринт Ин-та хим. физики АН СССР).
9. Ширяев А. А., Павлов Г. А. Гиперзвуковое обтекание сферического зонда в атмосфере Юпитера. Черноголовка, 1982. 32 с. (Препринт Ин-та хим. физики АН СССР).
10. Кучеренко В. И., Павлов Г. А., Сон Э. Е. Эффективные коэффициенты переноса в плазме в приближении локального термодинамического равновесия. — Теплофиз. высоких температур, 1976, т. 14, № 5, с. 921–926.

11. *Вольперт А. И., Тишакова Р. С.* Положительные решения второй краевой задачи для квазилинейных параболических систем уравнений. Черногоровка, 1981. 13 с. (Препринт Ин-та хим. физики АН СССР).
12. *Иевлев В. М.* Турбулентное движение высокотемпературных сплошных сред. М.: Наука, 1975. 250 с.
13. *Румынский А. Н., Чуркин В. П.* Обтекание затупленных тел гиперзвуковым потоком вязкого излучающего газа.— Журн. вычисл. матем. и матем. физики, 1974, т. 14, № 6, с. 1553—1570.
14. *Лебедев В. И., Фомин В. Н.* Обтекание затупленных тел гиперзвуковым потоком газа с учетом селективного излучения и поглощения энергии.— Журн. вычисл. матем. и матем. физики, 1969, т. 9, № 3, с. 655—663.
15. *Самарский А. А., Николаев Е. С.* Методы решения сеточных уравнений. М.: Наука, 1978. 591 с.
16. *Moss J. N., Anderson E. C., Bolz C. W. Jr.* Viscous-shock layer solutions with radiation and ablation injection for Jovian entry.— AIAA Pap., 1975, № 671. 15 p.

Москва

Поступила в редакцию
15.IX.1983